

Fig. 1

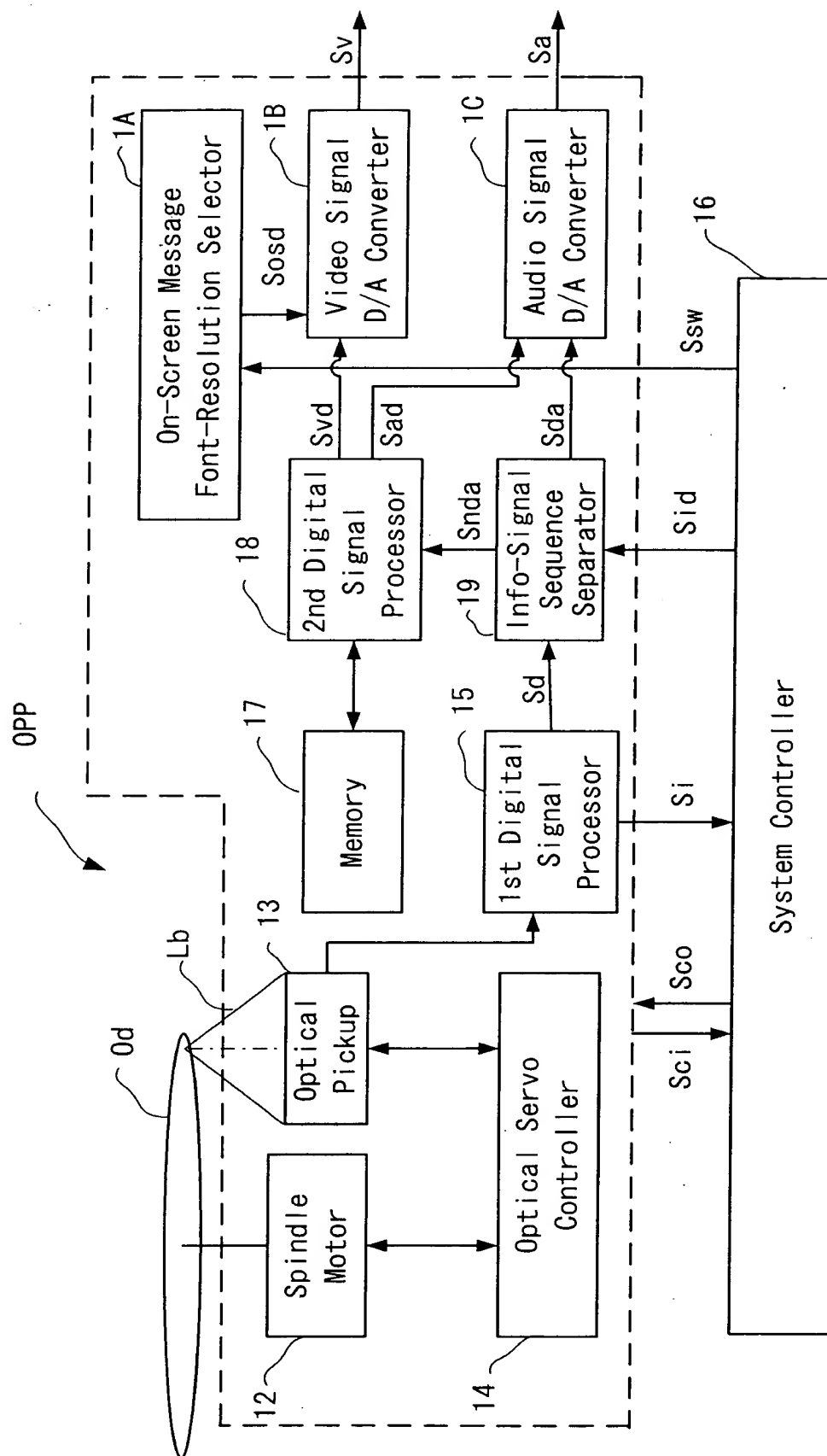
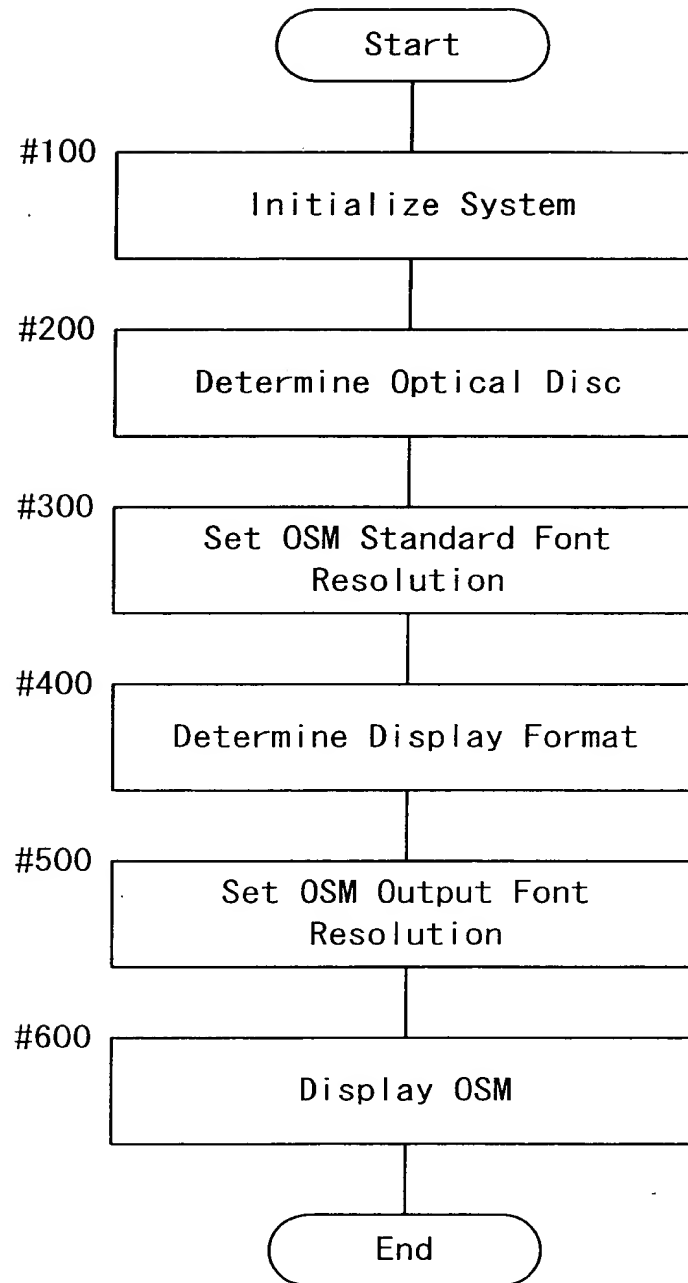


Fig. 2



09697133-102700

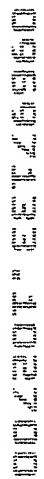


Fig. 4A

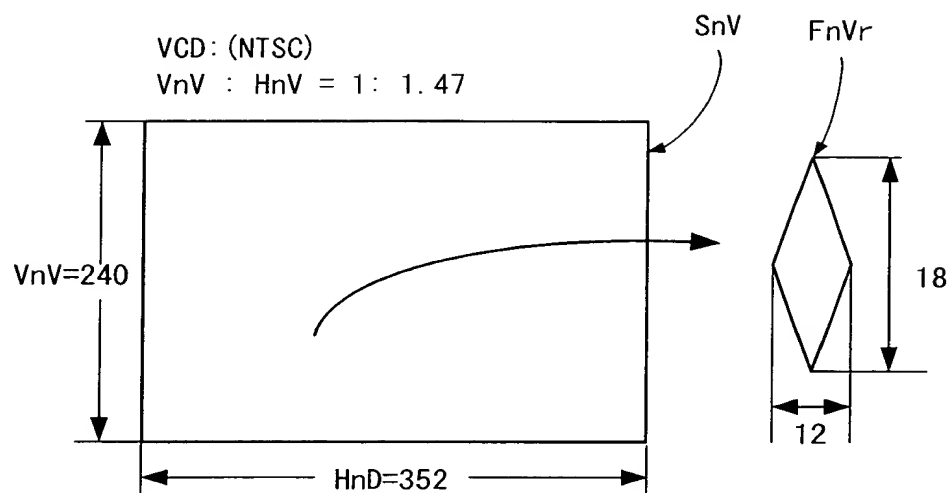


Fig. 4B

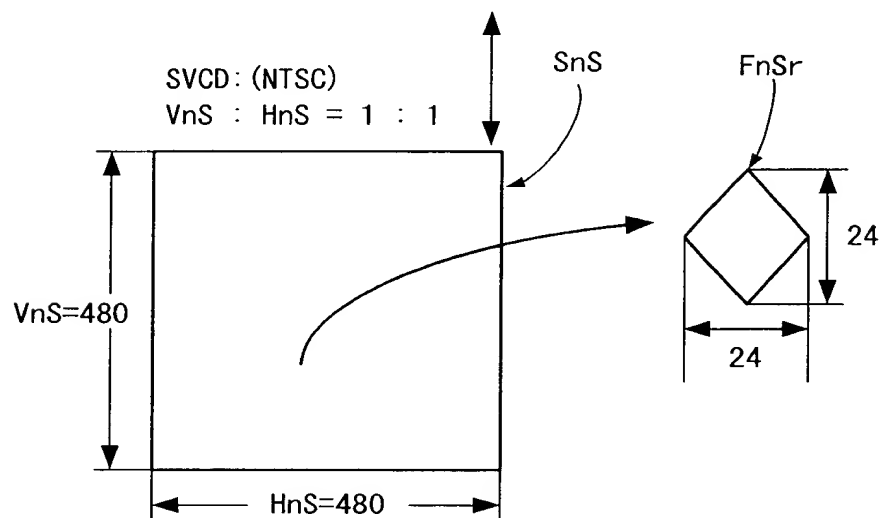


Fig. 4C

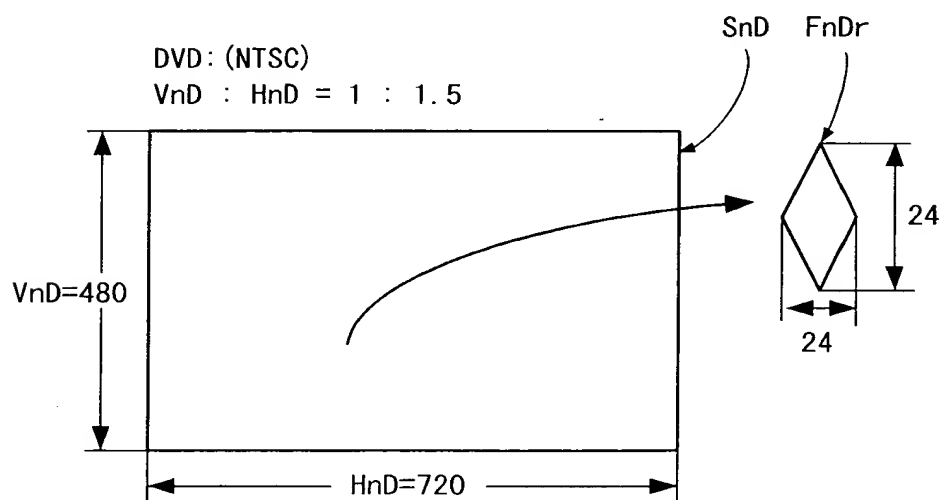


Fig. 5A

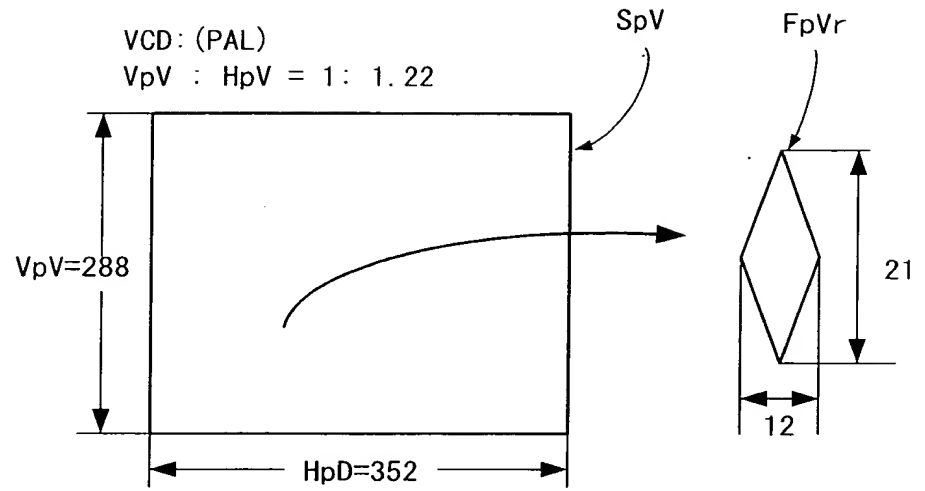


Fig. 5B

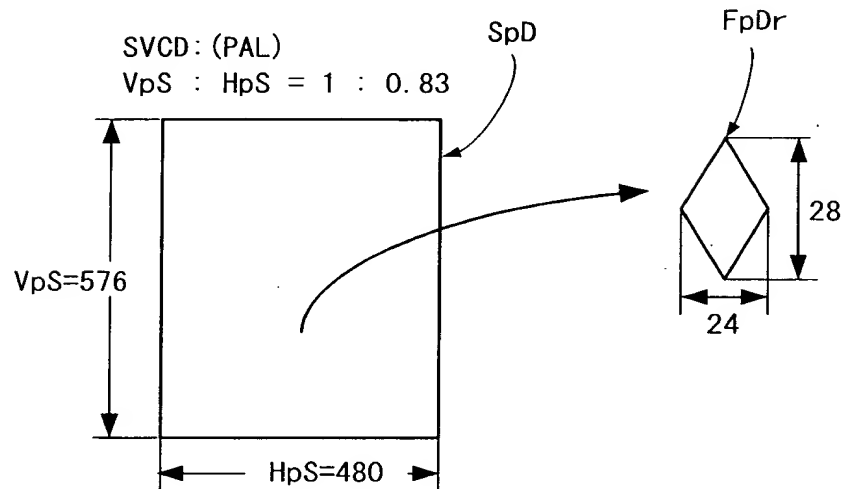


Fig. 5C

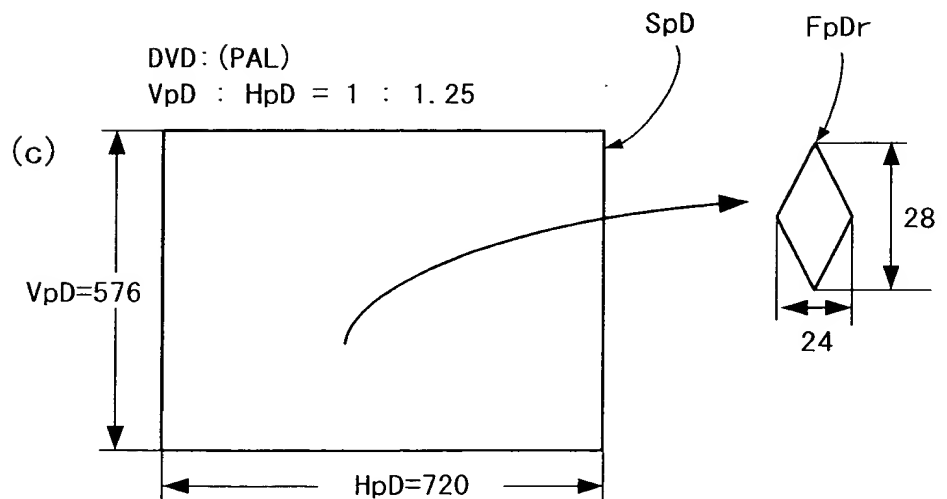


Fig. 6

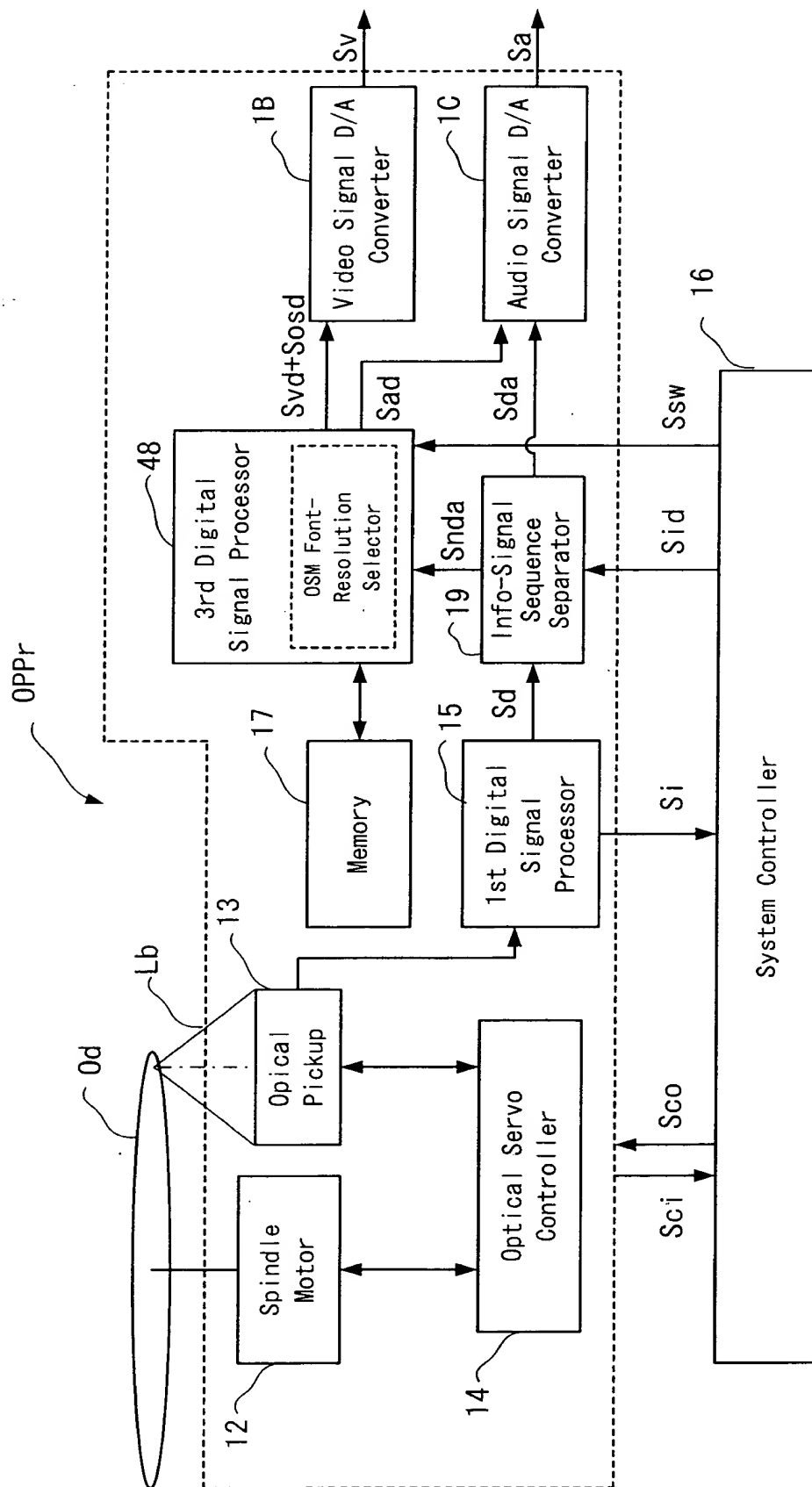


Fig. 7

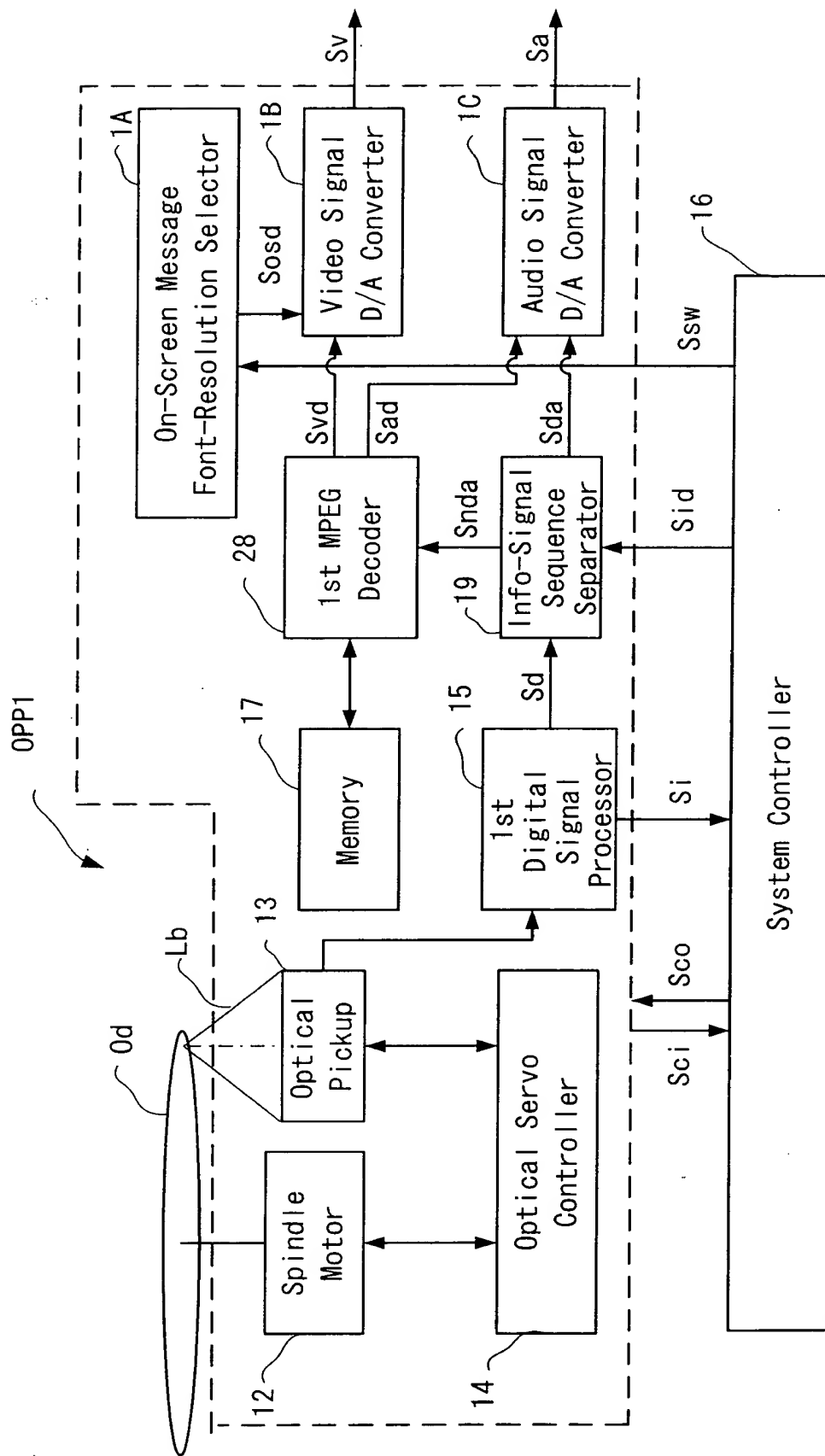


Fig. 8

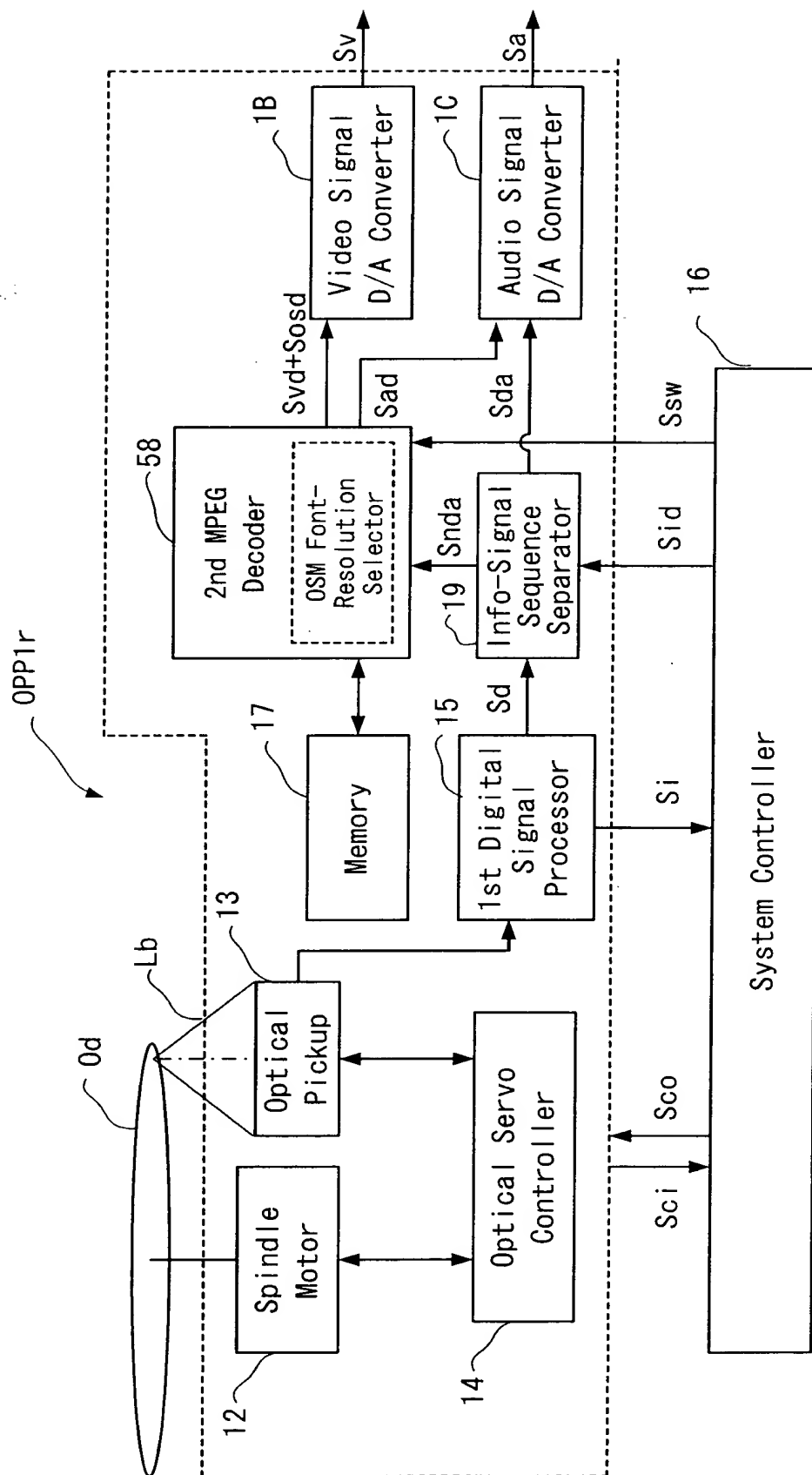


Fig. 9

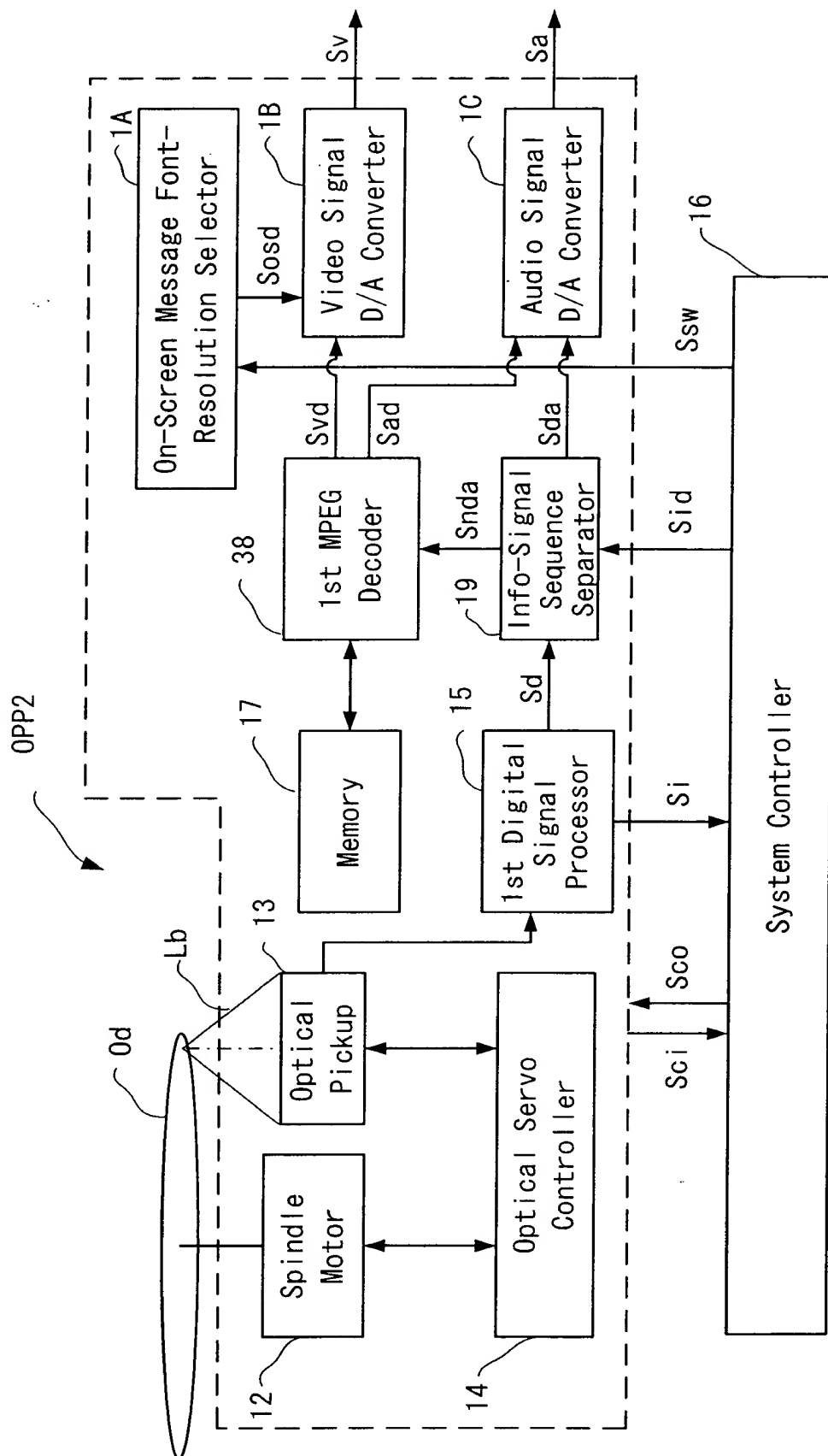


Fig. 10

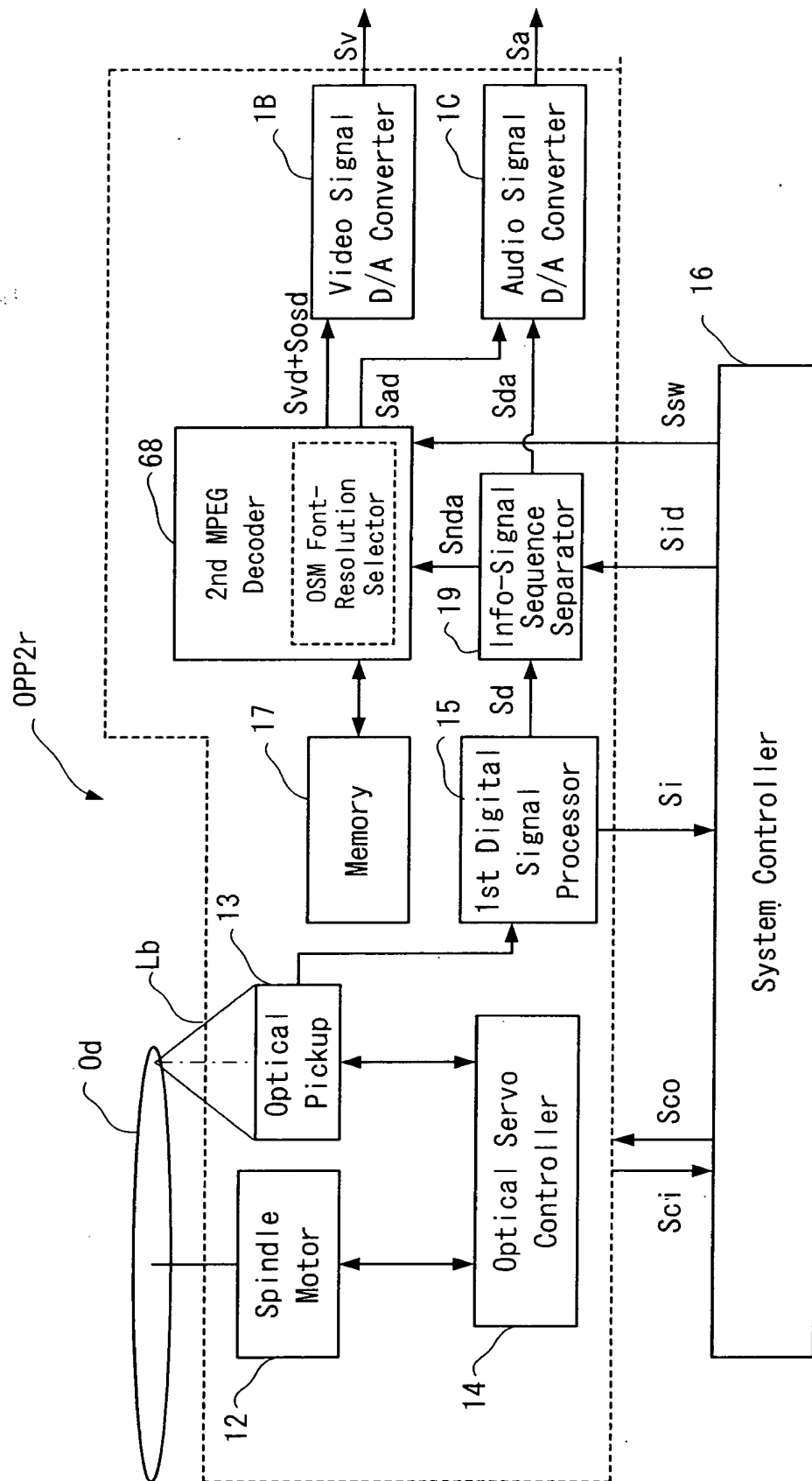


Fig. 11 Prior Art

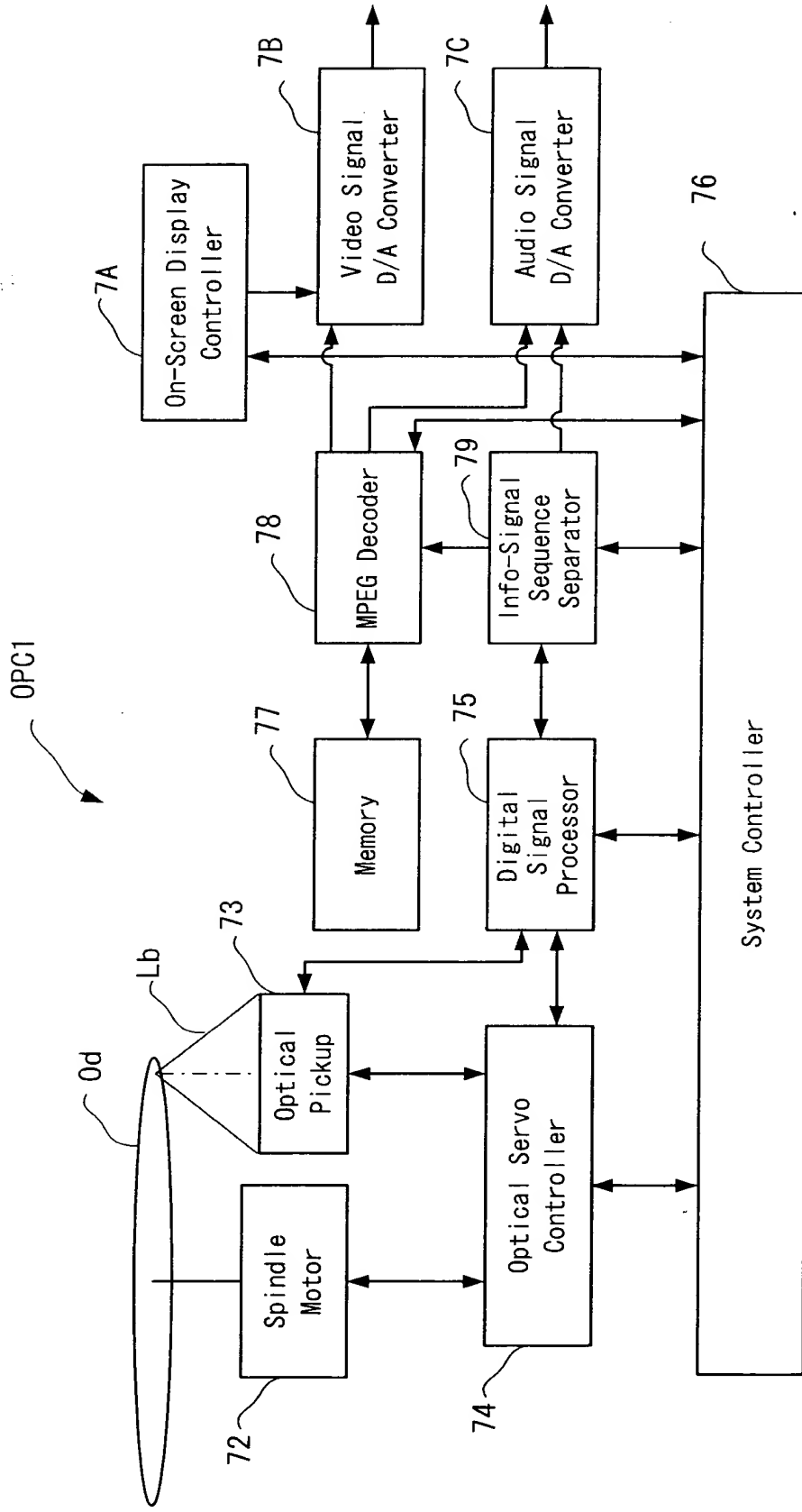


Fig. 12 Prior Art

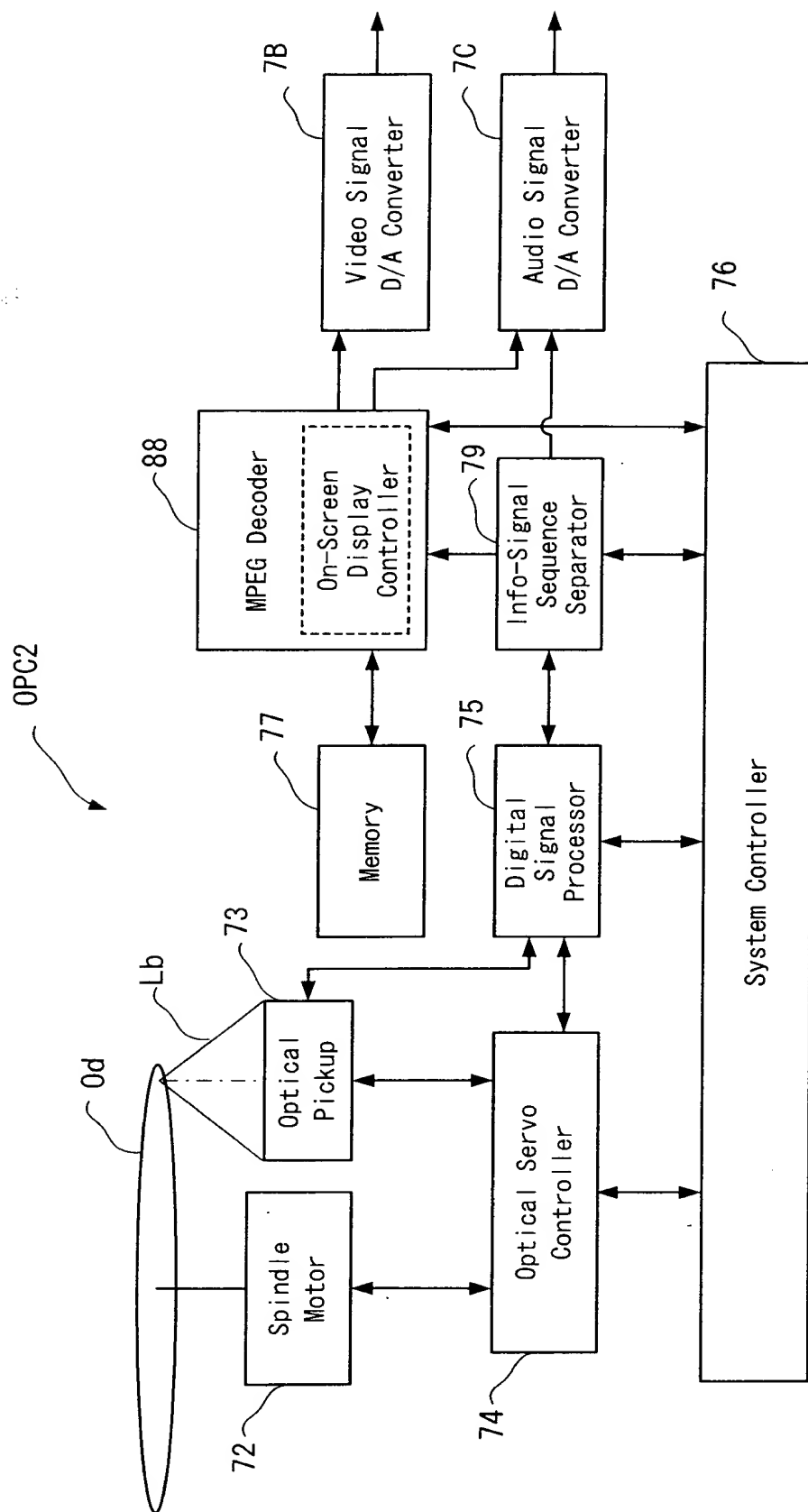


Fig. 13 Prior Art

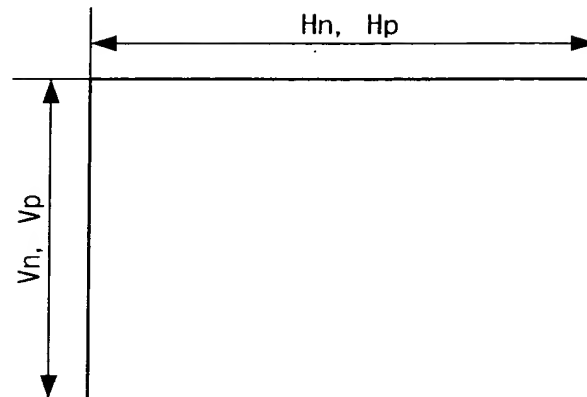


Fig. 14 Prior Art

NTSC					
OD	V_n	H_n	H_n/V_n	V_n/V_nV	H_n/H_nV
VCD	240	352	1.47	1	1
SVCD	480	480	1	2	1.36
DVD	480	720	1.5	2	2.05

Fig. 15 Prior Art

PAL					
OD	V_p	H_p	H_p/V_p	V_p/V_pV	H_p/H_pV
VCD	288	352	1.22	1	1
SVCD	576	480	0.83	2	1.36
DVD	576	720	1.25	2	2.05

Fig. 16A Prior Art

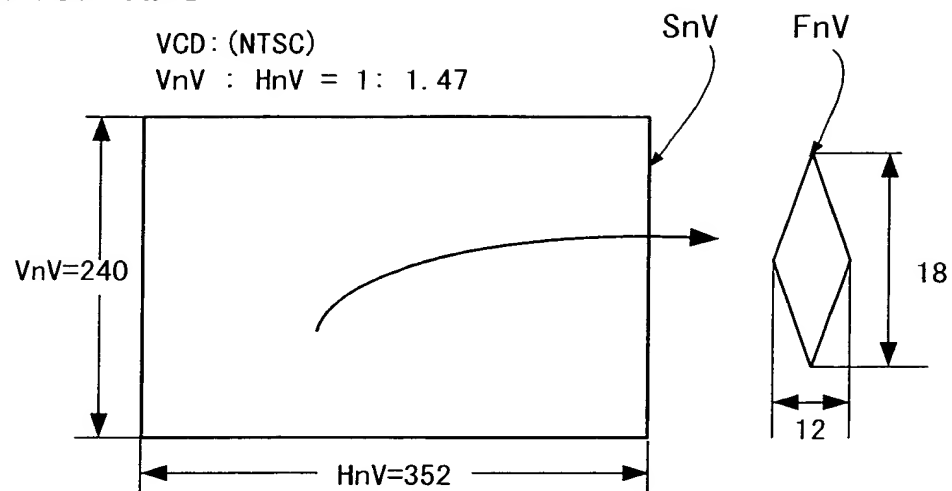


Fig. 16B Prior Art

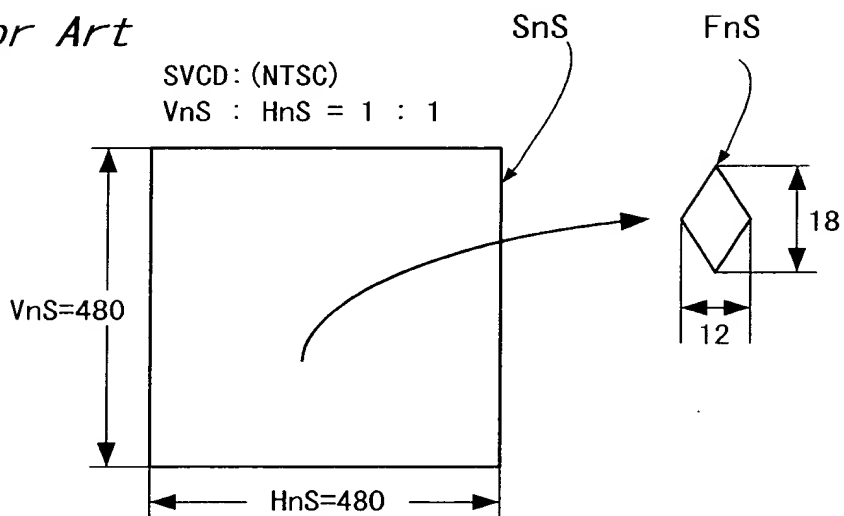
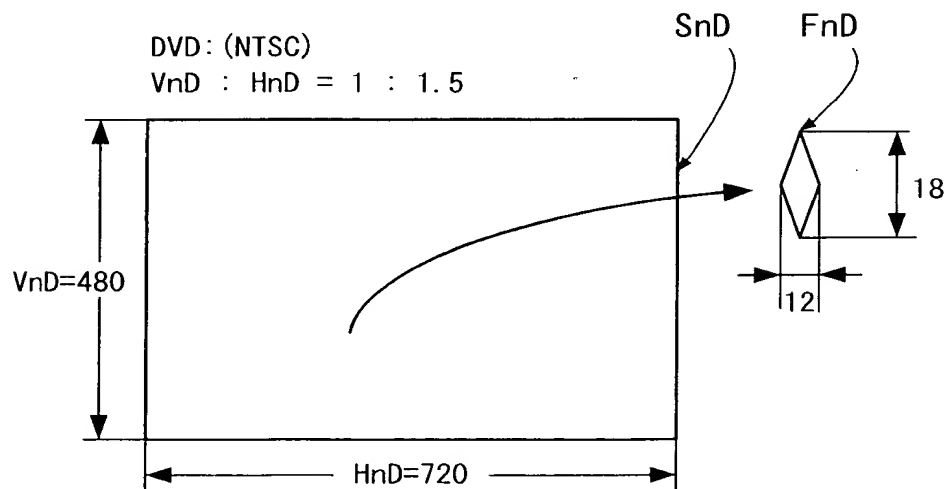


Fig. 16C Prior Art



09/23/10 10:00

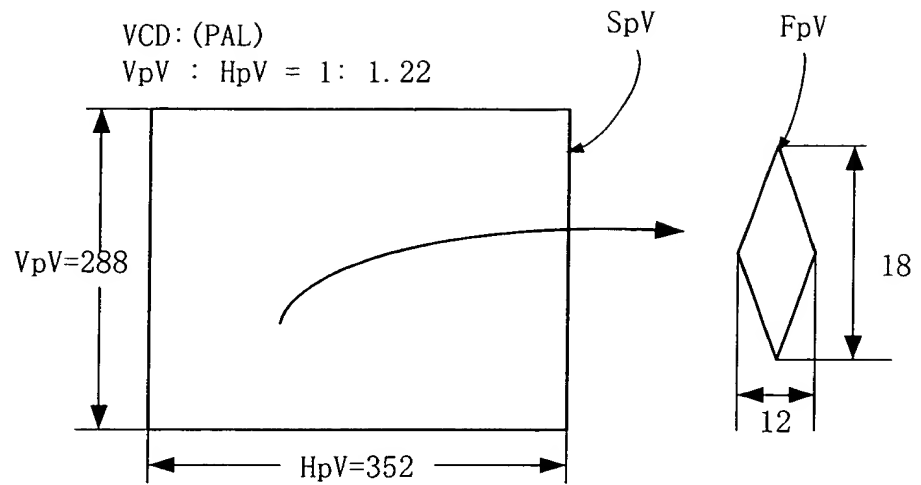


Fig. 17B Prior Art

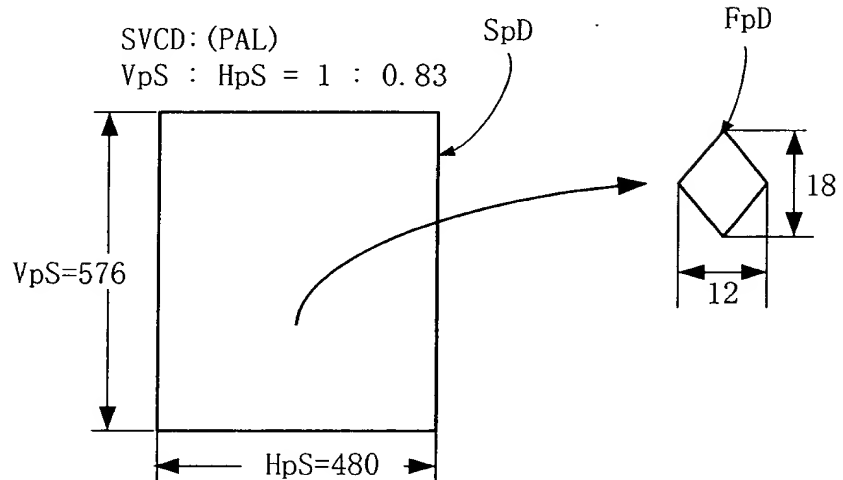


Fig. 17C Prior Art

